

### *(Sorghum bicolor)*

(*Glycine max*)

## **Assessment of soybean (*Glycine max*) and sorghum (*Sorghum bicolor*) intercropping by using reciprocal model of yield**

یعقوب راعی<sup>۱</sup>، کاظم قاسمی گلستانی<sup>۲</sup>، عزیز جوانشیر<sup>۳</sup>، هوشنگ آلیاری<sup>۴</sup> و  
سید ابوالقاسم محمدی<sup>۵</sup>

ارزیابی کشت مخلوط سویا (*Glycine max*) و سورگوم

(*Sorghum bicolor*) با استفاده از مدل عکس عملکرد. مجله علوم زراعی ایران، جلد هشتم، شماره ۱، صفحه: ۱ تا ۱۳.

(% )

تاریخ دریافت: ۸۲/۹/۲۳

۳۴- استاد دانشگاه تبریز

۱- استادیار دانشگاه محقق اردبیلی، اردبیل، (مکاتبه کننده)

۲۵- استادیار دانشگاه تربیت

ردیف طولی سویا، عملکرد آن را از ۶۲٪ کاهش می‌دهد.

اندازه گیری اثر متقابل در بین گیاهان بسیار مهم است. این اثرات ممکن است به دو طریق زیر مطالعه شوند:

الف- مطالعات افزایشی: اثر ناشی از افزایش تراکم گونه دوم بر روی گونه اول را به صورت کمی در می‌آورد.

ب- مطالعات جایگزینی: تعیین اثرات نسبت گونه‌ای هر یک از گونه‌ها را در شرایط ثابت بودن تراکم کل امکان پذیر می‌سازد (Prather and Calihan, 1991).

تا به حال در ارتباط با تعیین اثرات تداخلی در بین دو گونه، مدل‌های رگرسیونی متعددی ارایه شده است که براساس ارتباط عملکرد- تراکم استوار هستند.

از بین این مدل‌ها، مدل عکس عملکرد (Reciprocal yield model) یکی از روش‌های معتبر مطالعه رقابت محسوب می‌شود (Roush *et al.*, 1989; Kropff and Lotz, 1993)

.Willey and Heuth, 1960; Wright, 1981)

این مدل ضمن تعیین کمی اثرات رقابت درون گونه‌ای و برونو گونه‌ای، قادر است قدرت رقابتی و تمایز آشیان اکولوژیک دو گونه را نیز به صورت Fribank and Watkinson, 1985 کمی درآورد (Panatone *et al.*, 1989; Panatone and Baker, 1991;

اسپیترز (Spiters, 1983) روش سری‌های افزایشی را برای ارزیابی کار کرد مدل عکس عملکرد در یک سیستم کشت مخلوط دو یا چند گونه به صورت زیر مورد استفاده قرار داد. تداخل بین دو گونه با استفاده از مدل عکس عملکرد می‌تواند با استفاده از مدل‌های رگرسیونی چندگانه به شرح زیر مورد بررسی قرار گیرد.

$$W_1 = b_{1,0} + b_{1,1}N_1 + b_{1,2}N_2 \quad [1]$$

$$W_2 = b_{2,0} + b_{2,1}N_1 + b_{2,2}N_2 \quad [2]$$

که  $W_1$  و  $W_2$  وزن تک بوته گونه‌های اول و دوم،  $b_{1,0}$  و  $b_{2,0}$  عرض از مبدأ معادله، یعنی عکس عملکرد

گونه، تراکم نسبی و طول دوره همیستی علف هرز با گیاه زراعی در طول فصل رشد و نمو از عوامل مهم در افت عملکرد سویا است (Harrison, 1990).

سورگوم علوفه‌ای (*Sorghum bicolor*) علف هرزی است که بسیاری از مزارع گیاهان زراعی را آلووه می‌سازد (Williams and Itays, 1984). سورگوم قادر است با ارتفاع ۱ تا ۳ متری خود بالغ بر هزار دانه در هر پانیکول تولید کند. دانه‌های رسیده ممکن است قبل از برداشت محصول ریزش کنند. دانه‌های واقع در زیر خاک نیز قادرند قوه نامیه خود را تا سیزده سال حفظ کنند (Burnside, 1980). فلورو و روس (Fellows and Roeth, 1992) گزارش کردند که عملکرد سویا در تداخل با سورگوم علوفه‌ای ممکن است قبل از رسیدن اختلاف ارتفاع آنها به ۳۰ سانتی‌متر، تا ۲۵ درصد کاهش نشان دهد. سورگوم با تمامی گیاهان زراعی به شدت رقابت می‌کند (Burnside, 1980; Fellows and Roeth, 1992)

ویلیامز و ایتایز (Williams and Itays, 1984) افت عملکرد سویا را در رقابت باقيق از ۵۹ تا ۸۸٪ گزارش کرده‌اند. در این آزمایش مشخص شده است که اگر تراکم قیاق از ۱ به ۱۶ بوته در هر ۶/۴ متر ردیف طولی سویا افزایش یابد، کاهش عملکرد سویا به صورت خطی ظاهر می‌کند. مکورتر و هارتونیک (Mcwhorter and Hartwing, 1972) افت عملکرد سویا را از ۳۳ تا ۴۳ درصد در شرایط رقابت با سورگوم گزارش کرده‌اند. وسکی و همکاران (Vesecky *et al.*, 1973) نشان داده‌اند که سورگوم علوفه‌ای قادر است عملکرد سورگوم دانه‌ای را تا ۵۰٪ کاهش دهد. بکت و همکاران (Beckett *et al.*, 1988) دریافتند که اگر تراکم سورگوم به ۶/۶ بوته در هر متر ردیف طولی ذرت برسد، عملکرد ذرت ۲۲ درصد کاهش می‌یابد. بررسی کنل (Cannel, 1986) نشان می‌دهد که تراکم سورگوم از ۰/۶ تا ۰/۰ بوته در هر متر

سویا با دست از نیام‌ها خارج و به وسیله جریان طبیعی هوا در مدت زمان یک ماه، زمان رسیدن به وزن ثابت، خشک شدند. بیوماس سورگوم نیز با قرار دادن نمونه‌ها به مدت ۴۸ ساعت در آونی با دمای  $80^{\circ}\text{C}$  درجه سانتیگراد تعیین شد.

داده‌های مربوط به عملکرد سویا و بیوماس سورگوم با استفاده از روش رگرسیونی پله‌ای (Rejmanek *et al.*, 1989) مورد تجزیه قرار گرفتند. روش مرحله‌ای یا پله‌ای در نرم‌افزار SAS، مدل مناسبی را با استفاده از متغیرهای تراکم، به عنوان متغیر مستقل و عملکرد یولوژیک سورگوم و عملکرد دانه‌ای سویا به عنوان متغیر مستقل ارایه کرد. در این بین، بهترین مدل، مدل رگرسیون چندگانه عکس عملکرد با توجه به  $^{2^{\text{nd}}}$  تصحیح شده برخوردار از مقادیر بالا تعیین شد.

به منظور بررسی ارتباط عکس عملکرد تک بوته با تراکم گونه در حالت تک کشته از معادله زیر استفاده می‌شود (Watkinson, 1984).

$$W^{-1} = A + BN \quad \text{معادله [۳]}$$

که برای محاسبه عملکرد در واحد سطح معادله به صورت زیر در می‌آید.

$$Y = N / (A+BN) \quad \text{معادله [۴]}$$

در این معادلات،  $W^{-1}$ ،  $Y$ ،  $N$ ،  $A$  و  $B$  به ترتیب عملکرد تک بوته، عملکرد گونه در واحد سطح، تراکم، عملکرد تک بوته در حالت عاری از رقابت و ضرایب تداخل درون گونه‌ای است. در این تحقیق معادلات ارایه شده در جداول ۱، ۲، ۳، ۴ بخش نتایج و بحث حالت توسعه یافته‌ای از معادله ۳، در شرایط کشت دو گیاه به صورت مخلوط است که ارتباط عکس عملکرد تک بوته را با تراکم پارک و همکاران (Park *et al.*, 2003) نیز ارتباط غیرخطی عکس عملکرد تک بوته را با تراکم در حالت کشت مخلوط دو یا چند گونه گزارش کردند.

تک بوته‌ها در شرایط عاری از رقابت،  $b_{1,1}$  و  $b_{2,2}$  ضرایب رگرسیونی تداخل درون گونه‌ای،  $b_{1,2}$  و  $b_{2,1}$  ضرایب رگرسیونی تداخل برون گونه‌ای و  $N_1$  و  $N_2$  به ترتیب تراکم دو گونه اول و دوم هستند.

در تحقیق حاضر، بررسی کارآیی مدل‌های عکس عملکرد در توصیف ارتباط موجود بین عملکرد و تراکم سویا، برآورد تراکم‌های مطلوب سویا در تداخل با تراکم‌های مختلف سورگوم، کمی‌سازی تداخل سویا و سورگوم و در نهایت ارزیابی تأثیر تراکم سورگوم بر روی عملکرد سویا مد نظر قرار گرفته است.

آزمایش مزرعه‌ای در سال‌های ۱۳۸۱ و ۱۳۸۲ در مزرعه تحقیقاتی دانشکده کشاورزی دانشگاه تبریز ( $46^{\circ}\text{ طول شرقی و }5^{\circ}38^{\prime}\text{عرض شمالی و }160$  ارتفاع از سطح دریا) واقع در ۸ کیلومتری شرق تبریز در یک خاک شنی-لومی انجام پذیرفت. بذور سویا، رقم ویلیامز و سورگوم علوفه‌ای، رقم اسپیدفید از مؤسسه تحقیقات اصلاح و تهیه نهال و بذر کرج تهیه شد. الگوی کاشت از نوع روش سری‌های افرایشی بود. تیمارها نیز شامل تراکم‌های ۲۰، ۳۰، ۴۰ و ۵۰ بوته در مترمربع سویا و تراکم‌های صفر، ۴، ۸ و ۱۲ بوته در مترمربع سورگوم بودند. آزمایش به صورت فاکتوریل، در قالب طرح بلوک‌های کامل تصادفی در سه تکرار پیاده شد. تراکم‌های مطلوب گیاهی، از طریق کاشت مقادیر بالاتر از تراکم مورد نظر و سپس تنک دستی آن‌ها به دست آمد. هر کرت مزرعه شامل ۶ ردیف با فواصل ۶۰ سانتی‌متر و به طول ۶ متر بود. دور آبیاری هفت‌های یک بار در نظر گرفته شد. کنترل علف‌های هرز در طول فصل رشد حداقل چهار مرتبه به روش دستی انجام گرفت، برداشت به منظور تعیین عملکرد و بیوماس از ردیف‌های وسطی، بعد از حذف حاشیه‌ها (دو ردیف از هر طرف و نیم متر از کناره‌های تمام ردیف‌ها) از سطح چهار مترمربعی انجام شد. بلافاصله بعد از برداشت، دانه‌های

مدل عکس عملکرد نه تنها برای نشان دادن ارتباط بین تراکم سورگوم و عملکرد سویا در واحد سطح مورد استفاده قرار گرفت، بلکه برای توصیف روابط بین تراکم و عملکرد سویا در واحد سطح نیز به کار گرفته شد. با این حال، معادلات به کار رفته برای این دو حالت متفاوت بودند (جدول‌های ۱ و ۳). مقادیر محاسبه شده برای پارامترهای جدول ۳، در تعیین معادلات مربوط به میزان عملکرد در واحد سطح (گرم در مترمربع) و در تراکم‌های مختلف مورد استفاده قرار گرفت (جدول ۴). ارتباط بین عملکرد سویا در واحد سطح و تراکم سویا در تراکم‌های مختلف سورگوم به حالت پارابولیک بود، ولی این رابطه برای تیمار عاری از سورگوم تا حدودی به حالت اسیمپتیک به دست آمد (شکل ۴). با اینکه عملکرد سویا در واحد سطح (گرم در مترمربع) در تیمارهای عاری از سورگوم با افزایش تراکم سویا تا ۵۰ بوته در مترمربع (حداکثر تراکم کشت شده در این آزمایش) افزایش یافت، ولی در تراکم‌های ۴، ۸ و ۱۲ بوته در مترمربع سورگوم، میزان آن با افزایش تراکم‌های سویا به ترتیب تا ۳۶، ۳۴ و ۳۲ بوته در مترمربع افزایش و سپس کاهش نشان داد (شکل ۴).

بالاترین میزان عملکرد سویا در تیمارهای شاهد (در تمامی تراکم‌های مختلف) به دست آمد، ولی میزان آن با افزایش تراکم سورگوم کاهش یافت (شکل ۴). اختلافات بین تراکم صفر و سه تراکم دیگر سورگوم در تراکم‌های بالاتر از ۴۰ بوته در مترمربع سویا از نظر عملکرد شدیدتر بود (شکل ۴).

تجزیه رگرسیونی داده‌های مربوط به عملکرد سویا نشان داد که تأثیر تراکم سورگوم بر روی عملکرد سویا معنی دار است. بر این اساس عملکرد سویا با استفاده از معادله زیر برازش شد.

$$\text{معادله ۷} [7]$$

$$W_1 = 1 / ( -0.079942 + 0.0079 N_1 + 0.0198 N_2 )$$

غالیت از طریق تقسیم ضریب تداخل درون گونه‌ای به ضریب تداخل برونو گونه‌ای برای هر یک از گونه‌ها به صورت زیر محاسبه گردید (Rejmanek *et al.*, 1989).

$$\text{معادله ۵} [5] \quad b_{11} / b_{12} = \text{غالیت گونه اول}$$

$$\text{معادله ۶} [6] \quad b_{22} / b_{21} = \text{غالیت گونه دوم}$$

شاخص تمایز آشیان اکولوژیک نیز به صورت زیر محاسبه شد.

$$\text{معادله ۷} [7] \quad NDI = (b_{11} / b_{12}) / (b_{22} / b_{21})$$

لازم به ذکر است که برای محاسبه معادلات ۳، ۴ و ۵ از معادلات ۱ و ۲ موجود در بررسی منابع استقاده شد.

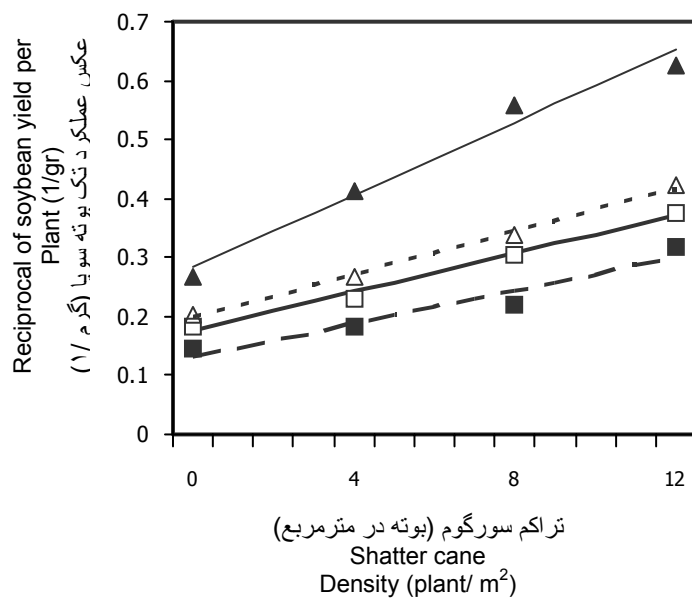
به منظور محاسبه درصد افت عملکرد نسبت به تیمارهای شاهد نیز از رابطه زیر استفاده گردید (Mamolos and Klubertji, 2001).

$$\text{معادله ۸} [8] \quad (\text{عملکرد شاهد}) / (\text{عملکرد واقعی} - \text{عملکرد شاهد}) =$$

درصد افت عملکرد

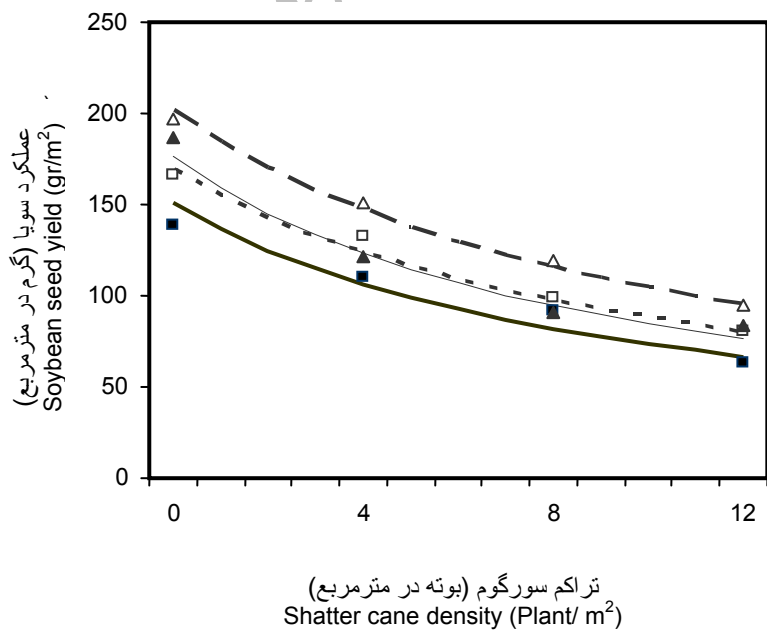
نتایج نشان داد که عکس عملکرد تک بوته سویا در تمامی تراکم‌ها با افزایش تراکم سورگوم افزایش نشان داد (شکل ۱). مقادیر محاسبه شده برای پارامترهای عرض از مبدا و شبیه هر خط رگرسیونی (جدول ۱) برای برآورد عملکرد سویا در واحد سطح (گرم در مترمربع) در تراکم‌های مختلف سورگوم مورد استفاده گرفت. لازم به ذکر است که عملکرد در واحد سطح با توجه به معادلات مندرج در جدول ۲ برآورد شدند.

نتایج نشان داد که میزان عملکرد در واحد سطح سویا با افزایش تراکم سورگوم کاهش می‌یابد (شکل ۲). این کاهش در تراکم‌های پایین سورگوم بیشتر از تراکم‌های بالا بود. بالاترین درصد افت عملکرد (۵۷ درصد) به ترتیب در تراکم‌های ۵۰ و ۱۲ بوته در مترمربع سویا و سورگوم مشاهده شد (شکل ۲).



شکل ۱- روند تغییرات عکس عملکرد تک بوته سویا ۲۰ (■)، ۳۰ (□)، ۴۰ (△)، ۵۰ (▲) و تراکم سورگوم در تراکمهای ۲۰، ۳۰، ۴۰ و ۵۰ بوته در متر مربع سویا

Fig. 1 Trend of variation in the reciprocal of Soybean (*Glycine max*) seed yield per plant and shatter cane (*Sorghum bicolor*) densities at soybean densities 20 (■), 30 (□), 40 (△), and 50 (▲) plants/m<sup>2</sup>



شکل ۲- روند تغییرات عملکرد سویا در واحد سطح و تراکم سورگوم در تراکمهای ۲۰ (■)، ۳۰ (□)، ۴۰ (△)، ۵۰ (▲) بوته در متر مربع سویا

Fig. 2 Trend of variation in soybean (*Glycine max*) seed yield per unit area and shatter cane density (*Sorghum bicolor*) at soybean densities 20 (■—■), 30 (□—□), 40 (▲—▲), and 50 (Δ—Δ) plants/m<sup>2</sup>

جدول ۱- معادلات به کار رفته برای محاسبه مدل عکس عملکرد تک بوته سویا در تراکم‌های مختلف سورگوم

Table 1. Applied equations for calculation of reciprocal of soybean yield per- plant at different densities of shatter cane

تراکم سویا (بوته در مترمربع)	معادله عکس عملکرد (گرم/۱)	$R^2$ تصحیح شده
Soybean density (plants/m <sup>2</sup> )	Equation of yield reciprocal	$R^2$ adj
20	$1/W = 0.13222 + 0.013962ds$	0.88
30	$1/W = 0.17678 + 0.016268ds$	0.89
40	$1/W = 0.19788 + 0.018306ds$	0.92
50	$1/W = 0.2825 + 0.030826ds$	0.76

جدول ۲- معادلات به کار رفته برای محاسبه عکس عملکرد سویا در واحد سطح (y) در تراکم‌های مختلف سورگوم

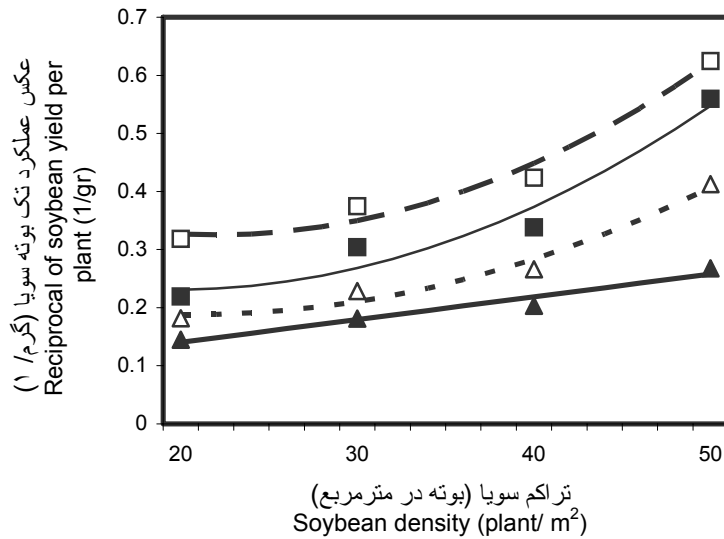
Table 2. Applied equations for calculation of soybean yield at various densities of shatter cane

تراکم سویا (بوته در مترمربع)	معادله عکس عملکرد (گرم در مترمربع)	$R^2$ تصحیح شده
Soybean density (plant/m <sup>2</sup> )	Equation of yield (gr/m <sup>2</sup> )	$R^2$ adj
20	$Y = 20/(0.13222 + 0.013962ds)$	0.88
30	$Y = 30/(0.17678 + 0.016268ds)$	0.89
40	$Y = 40/(0.19788 + 0.018306ds)$	0.92
50	$Y = 50/(0.2825 + 0.030826ds)$	0.76

جدول ۳- معادلات به کار رفته برای محاسبه عکس عملکرد تک بوته سویا در تراکم‌های مختلف سویا

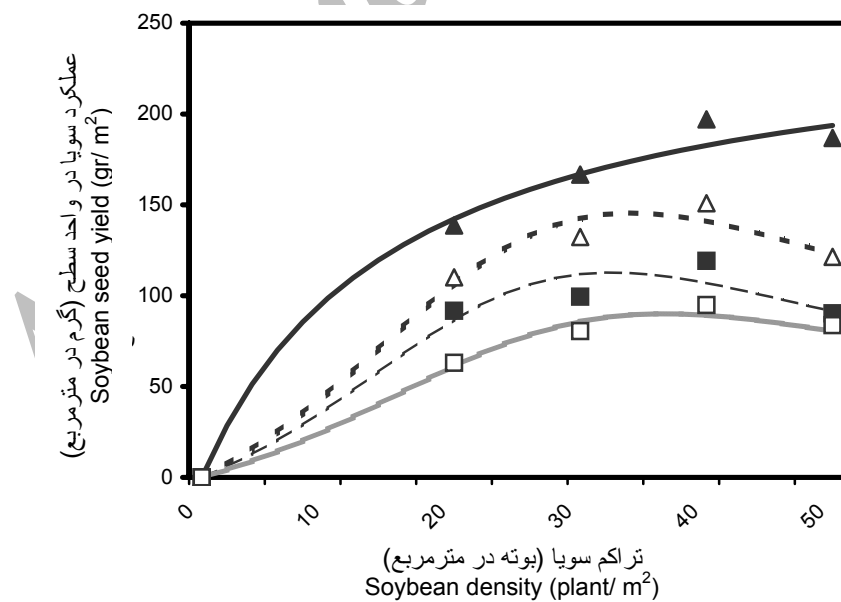
Table 3. Applied equations for calculation of reciprocal of soybean yield per-plant at different densities of soybean

تراکم سورگوم (بوته در مترمربع)	معادله عکس عملکرد (گرم/۱)	$R^2$ تصحیح شده
Shatter cane (plant/m <sup>2</sup> )	Equation of yield reciprocal (1/gr)	$R^2$ adj
0	$1/W = 0.06219 + 0.00391dsy$	0.9
4	$1/W = 0.29215 - 0.01022dsy + 0.00025dsy^2$	0.94
8	$1/W = 0.36085 - 0.0133dsy + 0.00034dsy^2$	0.86
12	$1/W = 0.29215 - 0.0165dsy + 0.00038dsy^2$	0.76



شکل ۳- روند تغییرات عکس عملکرد تک بوته سویا در تراکم های مختلف سورگوم صفر (▲)، (Δ.....Δ)، ۸ (■—■) و ۱۲ (□—□) بوته در مترمربع

Fig. 3. Trend of variation in the reciprocal of Soybean (*Glycine max*) seed yield per plant and soybean density at shatter cane (*Sorghum bicolor*) densities of 0 (▲—▲), 4 (Δ.....Δ), 8 (■—■), and 12 (□—□) plants/m<sup>2</sup>



شکل ۴- روند تغییرات عملکرد سویا در واحد سطح و تراکم سویا در تراکم های صفر (▲)، (Δ.....Δ)، ۸ (■—■) و ۱۲ (□—□) بوته در مترمربع سورگوم

Fig. 4 Trend of variation in the reciprocal of Soybean (*Glycine max*) seed yield per unit area and soybean density at shatter cane (*Sorghum bicolor*) densities of 0 (▲—▲), 4 (Δ.....Δ), 8 (■—■), and 12 (□—□) plants/m<sup>2</sup>

معادل ۲/۰۹ بود که حاکی از وجود تمایز آشیان اکولوژیک است.

نسبت‌های ضرایب رگرسیونی نشان داد که براساس عملکرد سویا، یک بوته سورگوم معادل ۲/۵ بوته سویا و در مقابل براساس بیوماس سورگوم، هر تک بوته سویا معادل ۱۸/۰ بوته سورگوم است.

شکل ۵ اثرات توام تراکم‌های سورگوم و سویا را بر روی عکس عملکرد تک بوته سویا نشان می‌دهد. در این شکل شیب صفحات عبارت از ضرایب رقابت است. ملاحظه می‌شود که شیب مربوط به تراکم‌های سورگوم بیشتر از شیب مربوط به تراکم‌های سویا است. بنابراین، ضریب رگرسیونی تداخل برون‌گونه‌ای بیشتر از ضریب رگرسیونی تداخل درون‌گونه‌ای است. در مورد اثرات توام تراکم‌های سورگوم و سویا بر روی عکس بیوماس تک بوته سورگوم (شکل ۶) مشاهده می‌شود که با افزایش تراکم هر دو گونه عکس بیوماس تک بوته سورگوم افزایش می‌یابد، ولی شیب مربوط به تراکم‌های سورگوم (ضریب رگرسیونی تداخل درون‌گونه‌ای) تندتر از شیب مربوط به تراکم‌های سویا (ضریب رگرسیونی تداخل برون‌گونه‌ای) است.

در این رابطه،  $W_1$ ،  $N_1$  و  $N_2$  به ترتیب عملکرد تک بوته سویا، تراکم سویا و تراکم سورگوم هستند.

ضریب تداخل درون‌گونه‌ای و برون‌گونه‌ای به ترتیب برابر با  $0/00791$  و  $0/00799$  به دست آمد (جدول ۱). عکس عملکرد تک بوته سویا در شرایط عاری از رقابت معادل  $0/00799$  شد که عکس آن بیانگر حداکثر عملکرد سویا است. واضح است که هر اندازه این عدد کوچکتر باشد، به همان اندازه نیز عملکرد تک بوته در شرایط عاری از رقابت افزایش می‌یابد. غالبیت سویا نیز (معادله ۳) برابر  $4/0$  برآورد شد. بیوماس سورگوم نیز از طریق معادله زیر برآش شد.

معادله [۸]

$$W_2 = 1425N_1 + 0/000764N_2 + 0/0003174 - 0/0001425N_1$$

تراکم‌های سورگوم و سویا را نشان می‌دهند. ضرایب تداخل درون‌گونه‌ای و برون‌گونه‌ای، همراه با غالبیت سورگوم در جدول ۵ آورده شده‌اند. حداکثر بیوماس تک بوته سورگوم معادل  $315/46$  گرم به دست آمد که از طریق معکوس کردن عرض از مبدأ معادله [۸] حاصل شد. شاخص تمایز آشیان اکولوژیک

جدول ۴- معادلات به کار رفته برای محاسبه عملکرد سویا در واحد سطح در تراکم‌های مختلف سویا

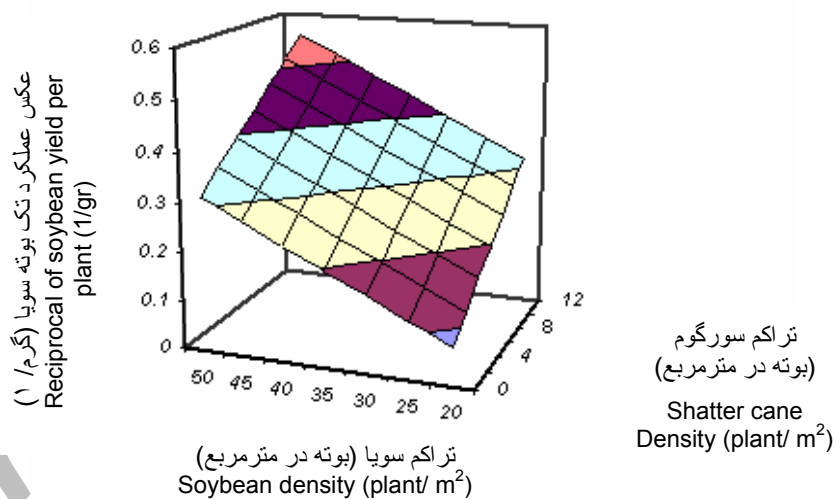
Table 4. Applied equation for calculation of soybean yield ( $\text{gr}/\text{m}^2$ ) of different densities of soybean

Traffic soybean density (plants/ $\text{m}^2$ )	Equation of yield ( $\text{gr}/\text{m}^2$ )	معادله عملکرد (گرم در مترمربع)	$R^2_{adj}$	$R^2$ تصحیح شده
0	$Y = dsy / (0.06219 + 0.00391 dsy^2)$		0.88	
4	$Y = dsy / (0.29215 - 0.01022dsy + 0.00025dsy^2)$		0.89	
8	$Y = dsy / (0.36085 - 0.0133dsy + 0.00034dsy^2)$		0.92	
12	$Y = dsy / (0.50604 - 0.0165dsy + 0.00038dsy^2)$		0.76	

### جدول ۵- برآورد عملکرد تک بوته سویا و بیوماس تک بوته سورگوم با استفاده از مدل عکس عملکرد

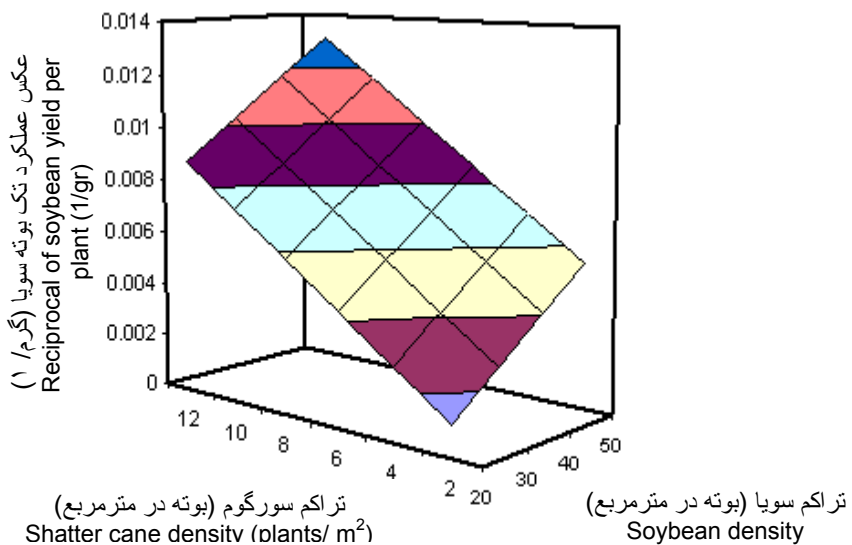
Table 5. Estimation of reciprocal of soybean yield per plant and shatter cane biomass per plant (1/W)

متغیر پاسخ	ضریب تداخل درون گونه‌ای	ضریب تداخل درون گونه‌ای	قدرت رقابتی	ضریب تبیین	سطح احتمال معنی
Response variable 1/W	Intraspecific interference coefficient (1/gr.m <sup>2</sup> )	Intraspecific interference coefficient (1/gr.m <sup>2</sup> )	Competitive ability	R <sup>2</sup> adj	Dar shden
				Probability	level
عکس عملکرد تک بوته سویا (گرم/1)	0.01987	0.0079	0.4	0.81	0.00001
Reciprocal of soybean yield per plant (1/gr)					
عکس بیوماس تک بوته سویا (گرم/1)	0.00014	0.00076	5.23	0.78	0.00001
Reciprocal of shatter cane biomass per plant (1/gr)					



شکل ۵- نمایش سه بعدی اثرات توأم تراکم‌های سورگوم و سویا بر روی عکس عملکرد دانه تک بوته سویا

Figure 5. Three dimensional plot of the combined effects of soybean and shatter cane densities on the reciprocal yield of soybean



شکل ۶- نمایش سه بعدی اثرات توأم تراکم‌های سورگوم و سویا عکس بیomas تک بوته سورگوم

Figure 6. Three-dimensional plot of the combined effects of soybean and shatter cane densities on the reciprocal yield of shatter cane (1/gr)

نسبت داد. در تراکم‌های پایین سورگوم، میزان کاهش در عملکرد سویا (گرم در مترمربع) بیشتر از تراکم‌های بالا بود. زیمندahl (Zimndahl, 1999) نیز اعلام کرد که در تراکم‌های پایین، رشد تک بوته‌ها بیشتر شده و اثر تراکم علف هرز بر روی گیاه زراعی بیشتر می‌شود. با توجه به حداقل عملکرد سویا در واحد سطح، تراکم‌های مطلوب سویا در تراکم‌های صفر، ۴، ۸ و ۱۲ بوته در مترمربع سورگوم به ترتیب در تراکم‌های ۵۰، ۳۴، ۳۲ و ۳۶ بوته در مترمربع به دست آمد. که نشان می‌دهد بخش اعظم اثرات دوگونه بر روی یکدیگر به تراکم سورگوم بستگی دارد. نقش این اثر در تراکم‌های بالاتر از ۴۰ بوته در مترمربع به نحو بارزتر مشخص است (شکل ۴). این نتایج به وسیلهٔ غالیت پایین سویا (۰/۴) در مقایسه با سورگوم (۵/۲۳) تائید می‌شود. همچنین، تداخل درون گونه‌ای پایین سویا نسبت به تداخل بروون گونه‌ای سورگوم، با توجه به عملکرد تک بوته سویا نشان داد که

ارتباط بین عملکرد سویا در واحد سطح و تراکم سورگوم در تراکم‌های مختلف سویا و نیز رابطهٔ بین عملکرد تک بوته سویا و تراکم سویا در تراکم‌های مختلف سورگوم به نحو مناسبی به وسیلهٔ معادلات عکس عملکرد نشان داده شدند (جدول‌های ۱ و ۳ و شکل‌های ۱ و ۳). به کارگیری مقادیر عددی محاسبه شده برای پارامترهای معادلات معکوس برای پیش‌بینی تغییرات عملکرد سویا در واحد سطح در تراکم‌های مختلف سورگوم و سویا با توجه به معادلات موجود در جدول‌های ۲ و ۴ بسیار موفقیت‌آمیز بود (شکل‌های ۲ و ۴). افزایش تراکم سورگوم عملکرد سویا را در واحد سطح در تراکم‌های مختلف آن کاهش داد، به طوریکه بالاترین افت عملکرد (۵۷ درصد) در بالاترین تراکم سویا مشاهده گردید (شکل ۲). دلیل این امر را می‌توان به افزایش تداخل درون گونه‌ای در بین بوته‌های سویا

بوته گوجه فرنگی است. در مقابل، براساس اثرات واردہ بر روی بیوماس ارزن، یک بوته گوجه فرنگی معادل با ۱۴٪ ارزن ژاپنی محاسبه شد. این امر با توجه به اثرات اعمال شده بر روی بیوماس گوجه فرنگی مشخص شد. راعی (۱۳۷۷) گزارش کرد که یک بوته سورگوم از نظر قدرت رقابتی معادل  $\frac{3}{3}$  بوته شبدر بر سیم و یک بوته شبدر بر سیم معادل  $\frac{1}{3}$  بوته سورگوم است. دباغ (۱۳۸۱) گزارش کرد که در اجتماع اکولوژیک سویا و سورگوم، سورگوم رقیب قویتری نسبت به سویا است.

دونان و زیمداهله (Dunan and Zimdaehl, 1991) گزارش کردند که NDI برای یولاف وحشی و جو بالاتر از یک به دست می‌آید. نتایج بررسی حاضر نیز نشان می‌دهد که NDI بالاتر از واحد است (۰.۹۲). این امر نشان می‌دهد که تمایز آشیان اکلولوژیک وجود دارد و کشت مخلوط عملکرد بیشتری را نسبت به کشت‌های خالص، گونه‌های انتخابی، تولید می‌کند.

## References

- بررسی کشت مختلط سورگوم و شبدر بر سیم. پایان نامه کارشناسی ارشد زراعت. دانشکده کشاورزی  
دانشگاه تبریز. ۱۲۰ صفحه.

**Beckett, T. H., E. W. Stoller and L. M. Wax.** 1988. Interference of four annual weeds in corn. *Weeds Sci.* 36: 764-769.

**Burnside, O. C. 1980.** Shatter cane control in narrow row soybeans. Agron. J. 72: 753-757.

**Burnside, O. C., G. A. Wicks and C. R. Fenster.** 1997. Longevity of shatter cane seed in soil across Nebraska. Weed Sci. 17: 139-143.

**Cannel, A. M. 1986.** Interference of shatter cane in soybeans. M.S. Thesis, Univ. Illionis, Urban.Campoin, II.  
Pages 28-58.

**Dunan, C. M. and R. L. zimdahl.** 1991. Competitive ability of wild oats (*Avena fatua*) and barely (*Hordeum vulgare*). *Weed Sci.* 39: 558-563.

**Fellows, G. M. and F. W. Roeth. 1992.** Shatter cane (*Sorghum bicolor*) interference in soybean (*Glycine max*). Weed Sci. 40: 68-73

11

- Fribeank, L. G. and A. R. Watkinson.** 1985. On the analysis of competition with two mixture of plants. *J. Appl. Ecol.*, 22: 503-517.
- Harrison, S. K.** 1990. Interference and seed production by common lambs quartes (*Chenopodium album*) in soybean (*Glycin max*). *Weed Sci.* 38: 113-118.
- Kropff, M. J. and A. P. Lotz.** 1993. Empirical models for crop-weed competition. In: M. J. Kropff and H. H. Van laar (eds.). *Modeling crop-weed interaction*. CAB International in association with the international Rice Research Institute. pp. 9-24.
- Mamolos, A. P. and K. L. Kalburtji.** 2001. Competitive between Canada thistle and winter wheat. *Weed Sci.* 49: 755-759.
- Mcwhorter, C. G. and E. E. Hartwing.** 1972. Competition of Johnson grass and Cocklebur with six soybean varities. *Weed Sci.* 20: 56-59.
- Panatone, D. J. and J. B. Baker.** 1991. Reciprocal yield analysis of rice (*Oryza sativa*) competition in cultivated rice. *Weed Sci.* 39: 42-47.
- Pantone, D. J., W. A. Williams and A. R. Maggenti.** 1989. An alternative approach for evaluation the efficiency of potential biocontrol agents of weeds. 1. Inverse Linear. *Weed Sci.* 37: 771-777.
- Park, S., L. R. Benjamin and A. R. Watkinson.** 2003. The theory of plant competition models; an agronomic perspective. *Annals of Botany*. 92: 741-743.
- Prather, T. S. and R. L. Callihan.** 1991. Interference between yellow starstile and pubescent wheat grass during grass establishment. *Journal of Range Management*. 44(5). 443-447.
- Rejmanek, M. G. Robinson and E. Rejmankova.** 1989. Weed- crop competition: Experimental designs and models for data analysis. *Weed Sci.* 37: 276-284.
- Roush, L. M., S. R. radosevich, R. G. Wagner, B. Maxwell and T. d. Petersen.** 1989. A comparison of methods for measuring effects of density and proportion in plant competition experiments. *Weed Sci.* 37: 268-275.
- Spiters, C. J. T.** 1983. An alternative approach to the analysis of mixed cropping experiments. I.Estimation of competition effects. *Neth. J. Agr. Sci.* 31: 1-11.
- Watkinson, A. R.** 1984. Yield-density relationships: the influence of resource variability on growth and self-thinning in populations of *Vulpia fasciculata*. *Annals of Botany*. 53:469-482.
- Willey, R. W. and S. B. Heuth.** 1960. The quantiative relationships between Plant population and crop yield. University of Reading. Reading. Berk shire, England. pp: 281-320.
- Williams, C. S. and R. M. Itayes.** 1984. Johnson grass competition in soybean. *Weed Sci.* 32:498-501.
- Wright, A. J.** 1981. The analysis of yield - density relation ship in binary mixture using inverse polynomials. *J. Agric. Sci. Camb.* 96: 561-567.
- Vesecky, J. F., K. C. Feltner and R. L. Vanderlip.** 1973. Wild cane and forages sorghum competition on grain sorghum. *Weed Sci.* 21: 28-32.
- Zimdahl, R. L.** 1999. Fundamental of weed science Academic press.

## Assessment of soybean (*Glycine max*) and shatter cane(*Sorghum bicolor*) intercropping with using of reciprocal model of yield

Raee. Y<sup>1</sup>., K. Ghasemi-Golozani<sup>2</sup>, A. Javanshir<sup>3</sup>, H. Aliari<sup>4</sup>  
and S. A. Mohammadi<sup>5</sup>

### Abstract

A field study was conducted to evaluate the effects of shatter cane and soybean densities on soybean seed yield, and to quantify interspecific and intraspecific interference coefficients. The relationship between soybean seed yield per plant and shatter cane density at different densities of soybean and also with soybean densities at different densities of shatter cane is well described by the reciprocal model. Soybean seed yield per unit area decreased with increasing shatter cane densities. The highest yield loss (57%) was related to 50 and 12 plants/m<sup>2</sup> of soybean and shatter cane densities, respectively. Optimum soybean densities on the basis of maximum soybean seed yield per unit area at 0, 4, 8, and 12 plants/m<sup>2</sup> of shatter cane were achieved at 50, 34, 32, and 36plants/m<sup>2</sup>. The combined effects of soybean and shatter cane densities showed that shatter cane was a stronger competitor than soybean, as a shatter cane plant was equal to 2.5 soybean plants, based on soybean seed yield. In contrast, a soybean plant was equal to 0.18 shatter cane plant, on the basis of shatter cane biomass. It was, therefore, concluded that the superior competitor was mostly affected by intraspecific interference, but the weaker competitor was mostly affected by interspecific interference.

**Key words:** Soybean, Shatter cane, Competition, Reciprocal model of yield, Seed yield, Biological yield.

---

Received: December, 2003

1- Assistant Professor, The University of Mohaghegh Ardabili, Ardabil, Iran. (Corresponding author)

2 and 5- Assistant professor, The University of Tabriz, Iran.

3 and 4- Professor, The University of Tabriz, Iran.